

КОСМІЧНА НАУКА І ТЕХНОЛОГІЯ

ISSN 1561-8889



НАЦІОНАЛЬНЕ КОСМІЧНЕ АГЕНТСТВО УКРАЇНИ
НАЦІОНАЛЬНА АКАДЕМІЯ НАУК УКРАЇНИ



ТОМ 13

№ 6

2007

В НОМЕРІ:

- Космічні висі та запарки
- Дослідження підводного космічного простору

УДК 539.288:521.210.533

А. М. Гоков

Харківський національний університет імені В. І. Каразіна

Особливості варіацій концентрації електронів в D-області іоносфери поблизу г. Харкова в період магнітної бури в грудні 2006 р.

Прийнято до рецензії 21.12.2017

Експериментальні за даними методу кількісного відламання динаміки концентрації електронів у середньолатитній D-області іоносфери в грудні 2006 р. під час магнітної бури. Розглянуто шарув D-області за початок та кінець бури. Проведено вивчення та розгляд результатів, порівняння з даними магнітної бури в межирівних умовах. Використано високоточні обчислювальні системи реалізації в D-області іоносфери протягом десятих хвилин блакитної та на 30–100 % з періодом $T \approx 30–60$ са. Описано зміни виникнені єдині. За експериментальними даними обчислювальною методикою виявлено зміни зараженості частин.

Введенні

Ізвестно, що магнітні бури (МБ), які часто виникають спідством постационарних процесів на Сонці, таких, як выброси корональної маси (ВКМ) і сонячні вибухи (СВ), сказують суттєві відмінності на становище космічної погоди в цілому та динаміку приземної іоносферної плазми. При цьому параметри будь-якої МБ сильно залежать від енергії постационарних процесів на Сонці та від преціснувати їх становища в системі Земля – Космос в цілому. По цій причині будь-яка МБ являється унікальною та супроводжується комплексом явищ в околосонянській плазмі, які, крім обичної закономірності, мають особливості, визначаючи відповідно відмінні характеристики изменення іоносферних параметрів. Исследование впливу магнітних бурь на околосонячну плазму є актуальними ввиду їх великого наукового та прикладного значення.

Начало магнітних бурь, якісно, як известно, проходить через некілько хвилин після виникнення на Сонці, супроводжується виникненням рентгеновського (ХРА), оптического (ОЛА) випромінення, високоенергетичними протонами (SPE) та електронами в іоносферу Землі. Эти события периптически протягаються в течение от десятков часов до 5–10 сут (иногда более) в зависимости от величины (класса) магнитной бури. Высыпающиеся из радиационных полей энергичные электроны с энергией $E \geq 40$ кэВ являются существенным источником дополнительной ионизации среднеширотной D-области ионосфери (до широт 45–60°) на высотах $z = 80...100$ км [1, 2, 13, 16, 19, 23–25, 29–31, 35–37, 41–44]. Кроме того, в период солнечних вибухів та магнітних бурь в спутникових измереннях регистрируются повинністю по срізанню з немагнітними умовами (часто на нескілько порядків) зменшення потоків протонів. Такі потоки протонів проникають до

высоте нижней части D-области ионосферы ($z = 55\text{--}75$ км) и могут вызывать заметное изменение ионизации в этой части ионосферы [3, 16, 22, 27, 30]. Однако есть большие трудности измерения потоков высвобождающихся заряженных частиц на средних широтах и получение привильных оценок их энергетического вклада на высотах $z < 90\text{--}100$ км из спутниковых измерений, производимых на значительно больших высотах ($z > 200$ км).

Происхождение МБ в средней и верхней ионосфере (выше 100 км) сравнительно хорошо изучено, однако реакция среднеширотной D-области ионосферы (ниже 100 км) на МБ имеет сложный и неоднозначный характер и изучена недостаточно [1, 2, 13, 16, 19, 23–25, 29–31, 35–37, 42–44]. Обусловлено это в первую очередь различии физико-химическими процессами (и существенно большей сложностью процессов в D-области), протекающими в этих областях ионосферы [40], а также эпизодичностью прямых измерений с помощью ракетных методов и сложностями при использовании космических дистанционных методов, таких как метод частичных отражений (ЧО) и др. Поэтому есть необходимость продолжения экспериментальных исследований и накопления сведений для изучения этого вопроса.

Настоящая работа является продолжением исследований [13, 16, 19, 35–37]. В ней излагаются результаты экспериментальных исследований методом ЧО вариаций концентрации электронов $N(z)$ в среднеширотной D-области ионо-

сферы во время магнитной бури в декабре 2006 г., которые сравниваются с результатами, полученными до и после МБ в невозмущенных условиях.

СРЕДСТВА РАДИОЗОНДИРОВАНИЯ

Экспериментальные исследования выполнены в Радиофизической обсерватории Харьковского Национального университета имени В. Н. Каразина вблизи г. Харькова [45] (географические координаты: широта $49^{\circ}38'N$, долгота $36^{\circ}20'E$, магнитное изклонение $66^{\circ}36'W$, магнитное склонение $6^{\circ}19'6''$, разница над уровнем моря 156 м) при помощи комплекса аппаратуры [21] методом ЧО. Технические параметры радара ЧО в период наблюдений: импульсная мощность передатчика $P = 150$ кВт, рабочая частота $f = 2.41$ МГц, длительность импульса 25 мкс, частота повторения импульсов $F = 10$ Гц, коэффициент усиления антенны $G = 50$, исследуемый диапазон высот 60–120 км.

СВЕДЕНИЯ О ЭКСПЕРИМЕНТАХ

Измерения амплитуд ЧО-сигналов и радиопузырьков выполнены в период магнитной бури в декабре 2006 г. Наблюдения проводились в течение ряда дней циклически до, в период и после магнитной бури. В табл. 1 приведены сведения об экспериментах (N — число солнечных пятен,

Таблица 1. Сведения об экспериментах

Дата наблюд.	Время наблюдения ЧО, ч	Время LT, UTC и WST до 4 + 40 ч	λ_p широта	F_{eff}	n
5	16:30–24:00	06:52	16:48	3	59
6	00:30–24:00	06:53	16:47	28	44
7	00:30–23:59	06:54	16:47	22	46
8	00:07–24:00	06:55	16:47	22	32
9	00:07–34:00	06:56	16:47	7	13
10	00:00–09:10	06:57	16:47	14	23
14	19:21–24:00	07:01	16:47	63	77
15	00:00–24:00	07:02	16:47	104	19
16	00:03–16:58	07:03	16:47	11	20
19	17:08–23:57	07:05	16:46	14	0
20	00:00–24:00	07:06	16:46	24	0
21	00:00–24:00	07:06	16:47	14	72
22	00:00–19:39	07:07	16:47	14	73

$F_{\text{эл}, \lambda}$ — поток радиочастот на длине волн $\lambda = 10.7$ см.

МЕТОДИКИ ИЗМЕРЕНИЙ И ОБРАБОТКИ ДАННЫХ

Во время эксперимента регистрировались высотно-временные зависимости амплитуд смеси частично отраженного сигнала и радиопути $A_{\text{см}, i}(z, t)$ (где t — время, индекс « i » в « см » соответствует обыкновенной и необыкновенной поляризации) с 22 высотных уровнями, начиная с 60 км через $\Delta z = 3$ км. Измерения $A_{\text{см}, i}(z, t)$ и $A_{\text{шум}}(t)$ выполнялись непрерывными сеансами длительностью единицы-две-три часа. Для выделения амплитуд частично отраженных сигналов $A_{\text{см}, i}(z, t)$ записывались также амплитуды только радиопути $A_{\text{шум}}(t)$ близ выборки в полосе частот 50 кГц в моменты времени, предшествующие получению локализующего импульса. Оценки средних величин интенсивностей ЧО-сигнала ($A_{\text{см}}^2$) и шумов ($A_{\text{шум}}^2$) осуществлялись по 600 реализациям на интервале времени 60 с. Статистическая погрешность этих оценок не превышала 10 %. Вычислялись высотно-временные зависимости ($A_{\text{см}}^2(t)$, t и $(A_{\text{см}}^2)_{\text{шум}}$). Для анализа дополнительно применялось их стяживание монодом скользящего среднего на интервалах 10–30 мин со сдвигом 1–5 мин.

По полученным ($A_{\text{см}}^2(z)$ на фиксированных высотах с шагом $\Delta z = 3$ км) вычислялась их относительная R (высотные профили $R(z)$ вычислялись на интервалах усреднения $\Delta z = 5$ и 10 мин), используемое далее для получения профилей электронной концентрации $N(z)$ по методике дифференциального поглощения с применением алгоритма регуляризации [4, 8]. При получении профилей $N(z)$ использовалась модель профиля $v(z)$ частот столкновений электронов с нейтральными молекулами [39]. Уточнение профилей $N(z)$ производилось по источникам [14]: высотные профили $R_{\text{шум}}$ вычислялись на интервалах усреднения $\Delta z = 5$ и 10 мин, после чего производилось их выкатное стяживание по трем точкам. Полученные таким образом зависимости ($R(z)$) использовались для полученных профилей $N(z)$. Погрешность вычисленной профилей $N(z)$ на интервалах усреднения в 10 или 5 мин не превышала 30 и 50 %, соответственно.

Для оценки периодов достаточно медленных вариаций ($A_{\text{см}}^2(t)$, t или концентрации электронов $N(t)$) использовались алгоритмы быстрого преобразования Фурье на интервалах времени 32, 64 или 128 мин. Временной ряд при этом образован из скользящих значений $A_{\text{см}, i}(z, t)$, $A_{\text{шум}}(z, t)$ и $A_{\text{шум}}(t)$. Анализировались высотно-временные вариации полученных зависимостей ($A_{\text{см}}^2(z, t)$, $(A_{\text{см}}^2)_{\text{шум}}(t)$ и $N(z, t)$).

СЛЕДОВАНИЯ О КОСМИЧЕСКОЙ ПОГОДЕ

Приведем краткую характеристику первых наблюдений в декабре 2006 г. Сведения о космической погоде приведены на рис. 1. Этот период можно условно разделить на три: 1) 5–12 декабря, 2) 13–15 декабря, 3) после 15 декабря. Кратко охарактеризуем их на основе геофизических данных, полученных в мировых центрах данных (<http://www.sec.ipsa.gov/>, <http://kscwww.kceti.kyoto-u.ac.jp/dstdir/index.html>).

Сильной магнитной буре 14–15 декабря предшествовали процессы в области видимой части Солнца 930 (S05, $I = 010$). Эта область была самой большой и наиболее активной в видимой части Солнца в течение всего рассматриваемого периода наблюдений.

Для первого периода (5–12 декабря) характерно следующее.

Солнечная активность изменилась от очень низкой с начала месяца и до 5 декабря исключительно до высокой 6 декабря вследствие того, что в видимой части Солнца в области 930 реализовались три большие солнечные вспышки (в табл. 2 приведены сведения об основных сильных солнечных вспышках в рассматриваемый период): X9/2n 5 декабря (онтогральный поток составил $I = 0.710$ Дж/м²), M6/1f ($I = 0.130$ Дж/м²) и X6/3n ($I = 0.480$ Дж/м²) 6 декабря, 7 декабря активность Солнца уменьшилась до умеренной вследствие вспышки M2.0/1n ($I = 0.370$ Дж/м²) и затем оставалась очень низкой до 12 декабря исключительно. В этот период произошли 31 слабых (класса C), четыре умеренных (класса M) и две сильные (класса X) рентгеновские вспышки. Геоэффективными были только отмеченные выше.

Геомагнитное поле изменилось от спокойного 5 декабря до слабо возмущенного состояния

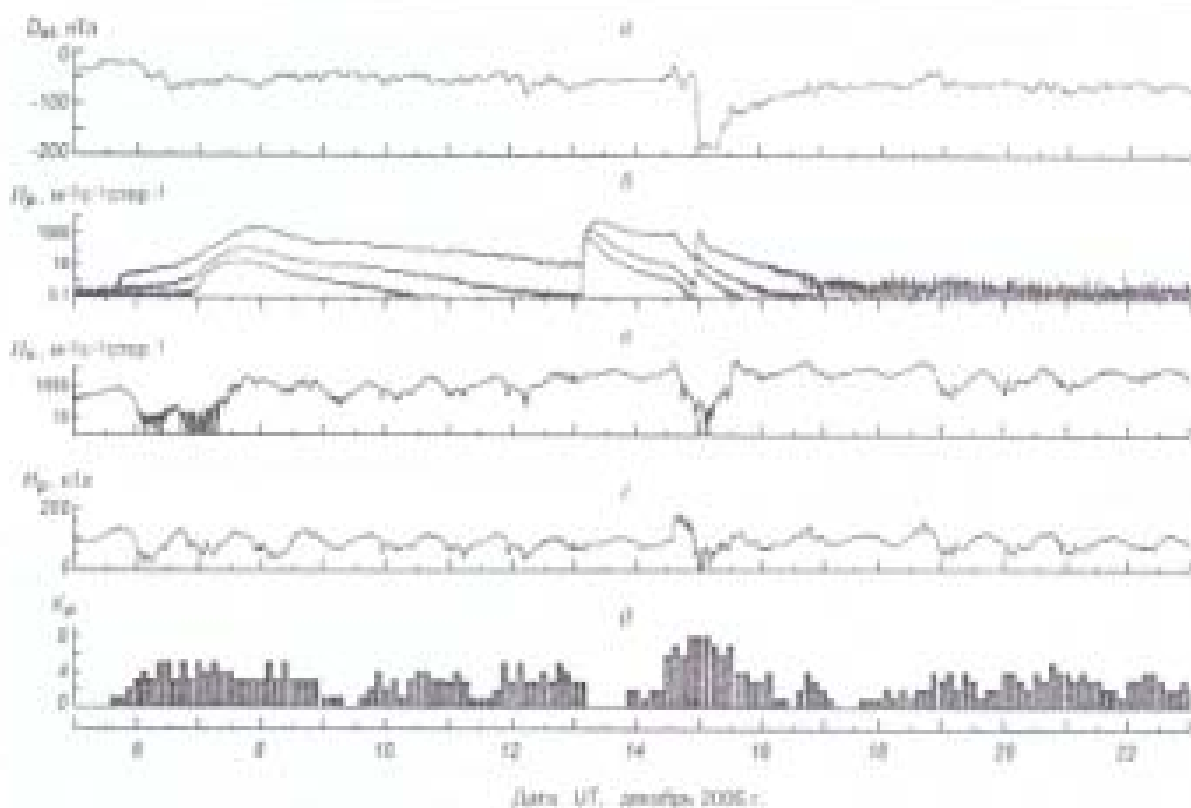


Рис. 1. Параметры космической погоды в декабре 2006 г. в период солнечных бурь: а — индекс геомагнитной активности D_{st} ; б — ураганение за 3 мин потока протонов 10, 30 и 100 МэВ (протон/с/с-стр., измерение на спутнике GOES-8 (1975)); в — поток электронов с энергией более 2 МэВ, измерение на спутнике GOES-11; г — ураганение за 3 мин потока H -компоненты геомагнитного поля (измерение на спутнике GOES-11); д — значение полуторарядного индекса геомагнитной активности K_p .

6 декабря, после чего оставалось спокойным с небольшими взмущениями первоначально (индекс D_{st} -индекс не превышали 10—20 нТл) до 14 декабря (примерно с 06:00 UT 6 декабря и до 11:00 UT 8 декабря после испытания X9.2b разливалась небольшая МБ. На рис. 1 хорошо видно, что в этот период наблюдалась уменьшение значений индекса D_{st} , примерно на 40—45 нТл и небольшие вариации H -компоненты геомагнитного поля; K_p -индекс в течение 3—6 ч увеличивался до значений 4—5. Характерно, что во время этой слабой МБ, как видно из рис. 1, а, потоки высоконервлических электронов уменьшались более чем на два порядка).

Увеличение потоков протонов с энергией более 10 и более 100 МэВ было обусловлено протяженной испыткой X9.0/2n 5 декабря. Потоки с энергией более 10 МэВ сильно увеличивались начиная с 15:55 UT 6 декабря, достигли максимального значения 1980 pfu 7 декабря в 19:30 UT и плавно уменьшались до 13 декабря.

остановясь повышенными на 1–2 порядка по сравнению с невозмущенными (например, в первой половине суток 5 декабря). Усиление потоков протонов с энергией более 100 МэВ началось 7 декабря в 15:40 UT, достигло максимального значения 19 pfu 7 декабря в 16:10 UT. Весь следующий в течение 7–9 декабря потоки плавно уменьшились до невозмущенных значений.

Потоки электронов с энергией более 2 МэВ, измеренные на спутниках GOES-8 и 12, в течение 7–10 декабря были повышенными по сравнению с невозмущенными. В декабря и в начале суток 7 декабря потоки выступающих электронов, как видно из рис. 1, в, сильно флюктуировали.

Для второй половины (13–15 декабря) характерно следующее.

Солнечная активность 13–15 декабря возросла до высокой вследствие очень сильной испытки X3/4b ($I = 0.519 \text{ Дж/м}^2$) в области видимой части Солнца 930, которая передала сложные

Таблица 2. События с сильных вспышек на Солнце

Ном. события	UT	T _{min}	Интенсивность потока, лк/с/м ²	Максимальные потоки радиоизлучения	
				240 МГц	3000 мВт
3	12:24—12:39(макс) —13:00	X9.0/2a	0.170	210000	12000
8	16:02—16:22(макс) —11:18	M6.0/af	0.140	350	340
8	20:29—20:47(макс) —23:35	X6.5/2a	0.480	20000	5800
7	20:41—21:02(макс) —22:59	M2.0/1a	0.170	45	2600
12	04:20—04:34(макс) —04:18	X3.4/4b	0.210	100000	44000
14	23:07—00:15(макс) —00:21	X1.5/af	0.120	99	620

ВКМ типа вспышки гало, 15 декабря в 08:15 LT в области Солнца №30 реализовалась другая сильная протонная вспышка X1.5 ($I = 0.12$ лк/с/м²). Эта вспышка породила сложные ВКМ типа асимметричного полного гало. Обе вспышки были геоэффективными. Другие четыре слабые вспышки (класса C), имевшие место в этот период, не были геоэффективными.

Геомагнитное поле изменилось в этот период существенно: значения индекса D_s уменьшились в течение нескольких часов в конце суток 14 декабря и в первой половине 15 декабря от $-40..-50$ (14 декабря) до $-185..-187$ нТл в 06:00—08:00 UT с последующим плавным увеличением значений D_s . К концу суток они составили $D_s = -95..-105$ нТл. По данным, полученным на спутнике, 14 декабря в 14:14 UT зафиксированы ВКМ, обусловленный индуцированным импульсом (SI) в геомагнитном поле (по данным магнитометрической обсерватории в Boulder он составил 26 нТл) после протонной вспышки X3/4b 13 декабря. Вариации H_s -составляющей геомагнитного поля в рассматриваемый период были существенными и во второй половине 14 и первой половине 15 декабря превышали 100 нТл.

Существенное увеличение потоков протонов с энергиями более 10 и более 100 MeV, как хорошо видно из рис. 1, б, имело место 13 декабря и было обусловлено вспышкой X3/4b. Потоки протонов с энергией более 100 MeV начали увеличиваться 13 декабря в 03:00 UT, достигли максимального значения 88.7 rbf в 05:25 UT и впоследствии потоки плавно уменьшались. Потоки протонов с энергией более 10 MeV резко увеличились начиная с 03:10 UT 13 декабря, достигли максимального значения 69 rbf в 09:25 UT и впоследствии плавно уменьши-

лись до 15 декабря. Вспышка X1.5 вызвала дополнительный всплеск потоков протонов 15 декабря (рис. 1, б), после чего в течение этих суток потоки уменьшились до фоновых.

Потоки электронов с энергиями более 2 MeV, измеренные на спутниках GEOS-8 и GEOS-12, в этот период были повышенными по сравнению с невозмущенными 15 декабря и в конце суток 14 декабря потоки высвобождающихся электронов, как видно из рис. 1, в, сильно флюкутировали.

Третий период (период 15 декабря) является типичным характерным невозмущенным. Для него характерно следующее:

Солнечная активность в течение 15—17 декабря уменьшилась до низкой, а затем до очень низкой и оставалась такой до конца периода наблюдений. В этот период геоэффективных событий не было (реализовалась лишь одна слабая вспышка класса C).

Геомагнитное поле изменилось в этот период мало. Значения индекса D_s изменялись в целом плавно, за исключением 18 декабря, когда их вариации достигали 20—25 нТл. Вариации H_s -составляющей поля эпизодически в течение нескольких часов составляли 10—20 нТл.

Потоки протонов на орбите спутников регистрировались на уровне фоновых невозмущенных значений.

Потоки высвобождающихся электронов различных энергий, измеренные на спутниках GEOS-8 и GEOS-12 (<http://www.ace.peda.gov/>), в этот период оставались еще высокими (что, по-видимому, характерно для после бурного периода [1], 23—25, 29.0 и значительно повышенными по сравнению с невозмущенными условиями).

В табл. 3 приведены суточные потоки протонов и электронов для энергий более 2 MeV (для энергий более 4 и более 6 MeV данных нет).

Таблица 3. Суточные потоки протонов и электронов в декабре 2006 г.

Ночь декабря 2006	Поток протонов, $10^3 \text{ аэ} \cdot \text{см}^{-2} \cdot \text{нр}^{-1}$		Поток электронов, $10^3 \text{ аэ} \cdot \text{см}^{-2} \cdot \text{нр}^{-1}$	
	$\mu \text{ээ}$	$\times 10^{-10}$	нр^{-1}	$\times 10^{-10}$
	нр^{-1}	нр^{-1}	нр^{-1}	нр^{-1}
9	14	0.77	0.055	29
10	28	8.8	0.13	14
11	1400	670	9.8	78
12	7000	650	8.1	160
13	1200	180	0.55	50
14	640	86	0.097	100
15	220	25	0.029	120
16	210	8.9	0.020	200
17	440	270	18	460
18	4300	1000	0.92	470
19	2200	22	0.36	540
20	140	1.4	0.004	1000
21	100	0.37	0.008	670
22	180	0.23	0.026	1100
23	180	0.22	0.029	270
24	110	0.18	0.038	280
25	110	0.16	0.039	450
26	110	0.17	0.044	580

полученные по данным спутников GEOS-8 и GEOS-12 (<http://www.ksc.psu.edu/>).

Как известно [5], индекс D_{st} определяет степень возмущения геомагнитного поля, и тем самым — интенсивность магнитных бурь. В период МБ 14–15 декабря индекс магнитной активности A_{st} , и K_{st} составляли 107 и 8 соответственно. По одной из классификаций рассматриваемая магнитная буря относится к сильным или очень сильным [28]. Энергия E_{st} и мощность P_{st} таких магнитных бурь составляют около $6.5 \cdot 10^{11}$ Дж и $7.5 \cdot 10^{11}$ Вт соответственно. Величину E_{st} удобно оценивать по минимальному значению D_{min} [28, 38]:

$$E_{\text{st}} = \frac{3}{2} E_{\text{st}} \frac{D_{\text{min}}}{B_0},$$

где $E_{\text{st}} = 8 \cdot 10^{11}$ Дж — энергия дополнительного геомагнитного поля у поверхности Земли, $B_0 = 30 \text{ нТ}$ — значение индукции геомагнитного поля на экваторе; скорректированное значение $D_{\text{min}}^2 = D_{\text{st}} = b r^{1/2} + c$. Здесь $b = 0.5 \text{ мТл}/(\text{Дж} \cdot \text{м}^{1/2})$, $c = 20 \text{ нТл}$, $r = N_p m_p v_{\infty}$, N_p и m_p — концентрация и масса протонов, v_{∞} — скорость солнечного ветра. Энергия магнитной бури, оцениваемая по этой

формуле, при значении $D_{\text{min}}^2 = 187 \text{ нТл}^2$ составила $5.7 \cdot 10^{11}$ Дж, максимальная мощность (15 декабря) — $5.5 \cdot 10^{11}$ Вт ($M = 3$ ч).

ЭКСПЕРИМЕНТАЛЬНЫЕ РЕЗУЛЬТАТЫ

И ИХ ОБСУЖДЕНИЕ

Рассмотрим основные особенности высотно-временных вариаций концентрации электронов, полученные в экспериментах в невозмущенных условиях и во время магнитной бури в декабре 2006 г. Важно также, что эксперименты проходили и в первом прохождении утреннего и вечернего одиночного термопарков (УСТ и ВСТ соответственно).

В эксперименте 5 декабря, который проходил в в ночное время, этот день можно отнести к невозмущенным: величина индекса K_{st} составляла 0–2; выраженных особенностей в высотно-временных вариациях ЧО-сигналов с высотных уровней 78–87 км и шумов не было установлено. Она отражала типичный вид этих характеристик для невозмущенных условий для этого времени года. Относение ЧО-сигнал/шумка составило $N(z, t) = (A_{\text{st}}^2)(z, t)/(A_{\text{sh}}^2(t)) = 1$. Высотно-временные вариации концентрации электронов $N(z, t)$ соответствовали типичным значениям для невозмущенных зимних условий (рис. 2).

Значения плазматического K_{st} -индекса 6 и 7 декабря увеличивались до 4–5. Как отмечалось выше, 6 декабря разразилась небольшая МБ. В этот день в течение всего суток времени суток отношение $z = 10–100$ к высотам диапазона 72–90 км. Характерно, что в ночное время довольно часто, как видно из рис. 3, $z = 10–100$. Концентрация электронов в этот день в D-области была несколько повышенной по сравнению с типичными невозмущенными условиями. Четко прослеживался суточный ход $N(z, t)$ (высотность $N(z, t)$ от зенитного угла Солнца ψ). Характерно также то, что в темное время суток, как видно из рис. 2, отмечались существенные вариации концентрации электронов, которых не было в прозрачные сутки. Такое поведение ЧО-сигналов и концентрации электронов, вероятнее всего, связано с МБ.

7 декабря в системе времени суток $z = 10–100$ в высотном диапазоне 60–90 км (см. рис. 3).

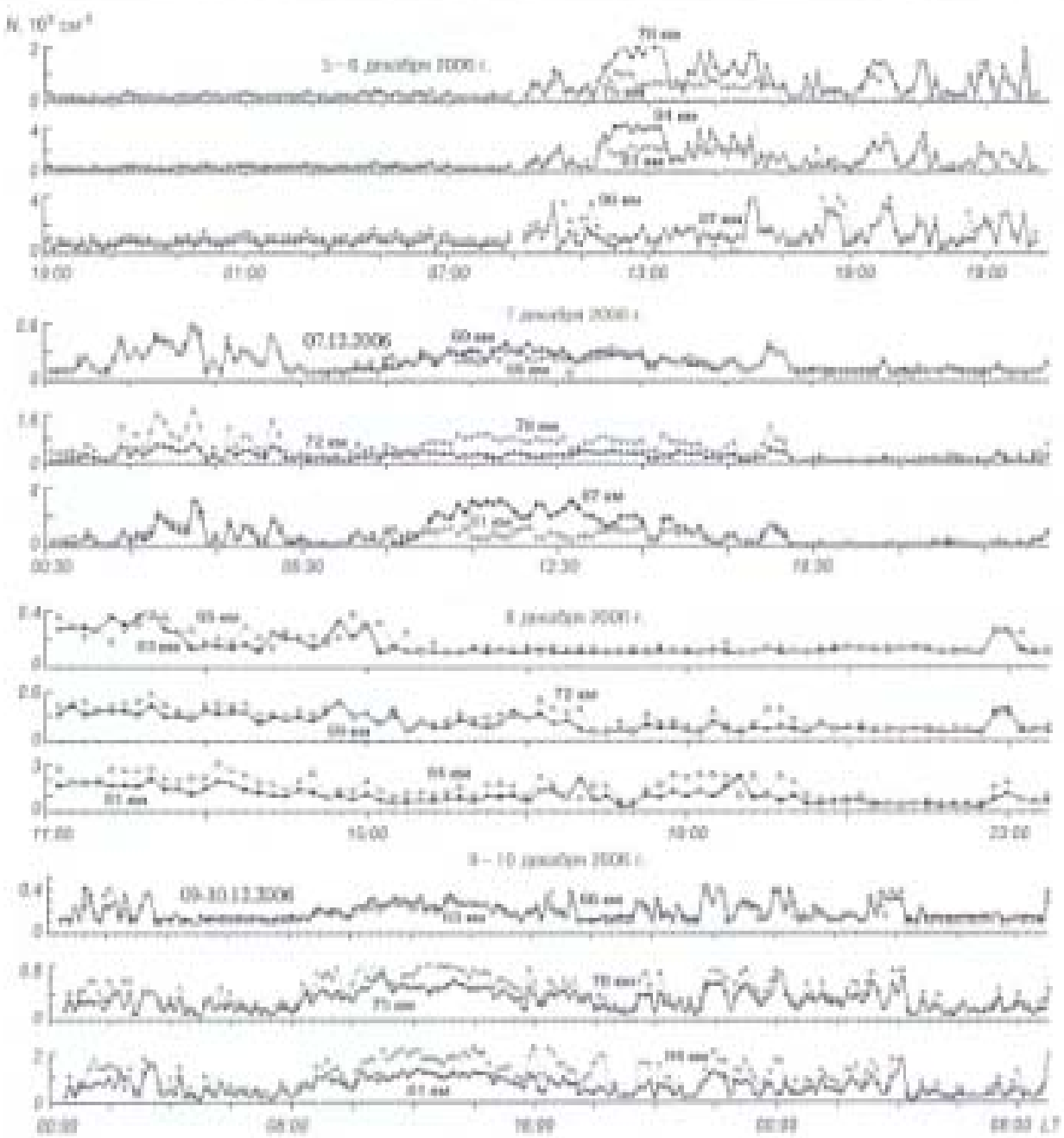


Рис. 2. Вариации концентрации легкого газа на фиксированные высоты в среднегодовой D-области ионосферы 5–10 декабря 2006 г.

Характерно, что интенсивные ЧО-сигналы ($s = 10\text{--}70$) наблюдались в области высот $z < 70$ км. В обычных невозмущенных условиях ЧО-сигналы с $s > 1$ на нашей аппаратуре в этом пункте наблюдений регистрируются редко с высот менее 70 км, что обусловлено малыми значениями концентрации электронов в этой области высот. В темное время суток почти во всей D-области ионосферы эпизодически регистрировались ЧО-сигналы с $s > 1\text{--}10$. Эти два факта свидетельствуют о том, что в эти сутки иониз-

ация в D-области, по-видимому, частично контролировалась потоками высокодвижущихся частиц (по крайней мере — на высотах ниже 80 км, что не противоречит известным положениям [3, 22] из физики и химии ионосферы), которые, как отмечено выше, были обусловлены вспышкой X9/2n и достигли максимального значения в эти сутки.

Вариации концентрации электронов 7 декабря показаны на рис. 2. Отчетливо видно, что значения концентрации электронов в эти сутки

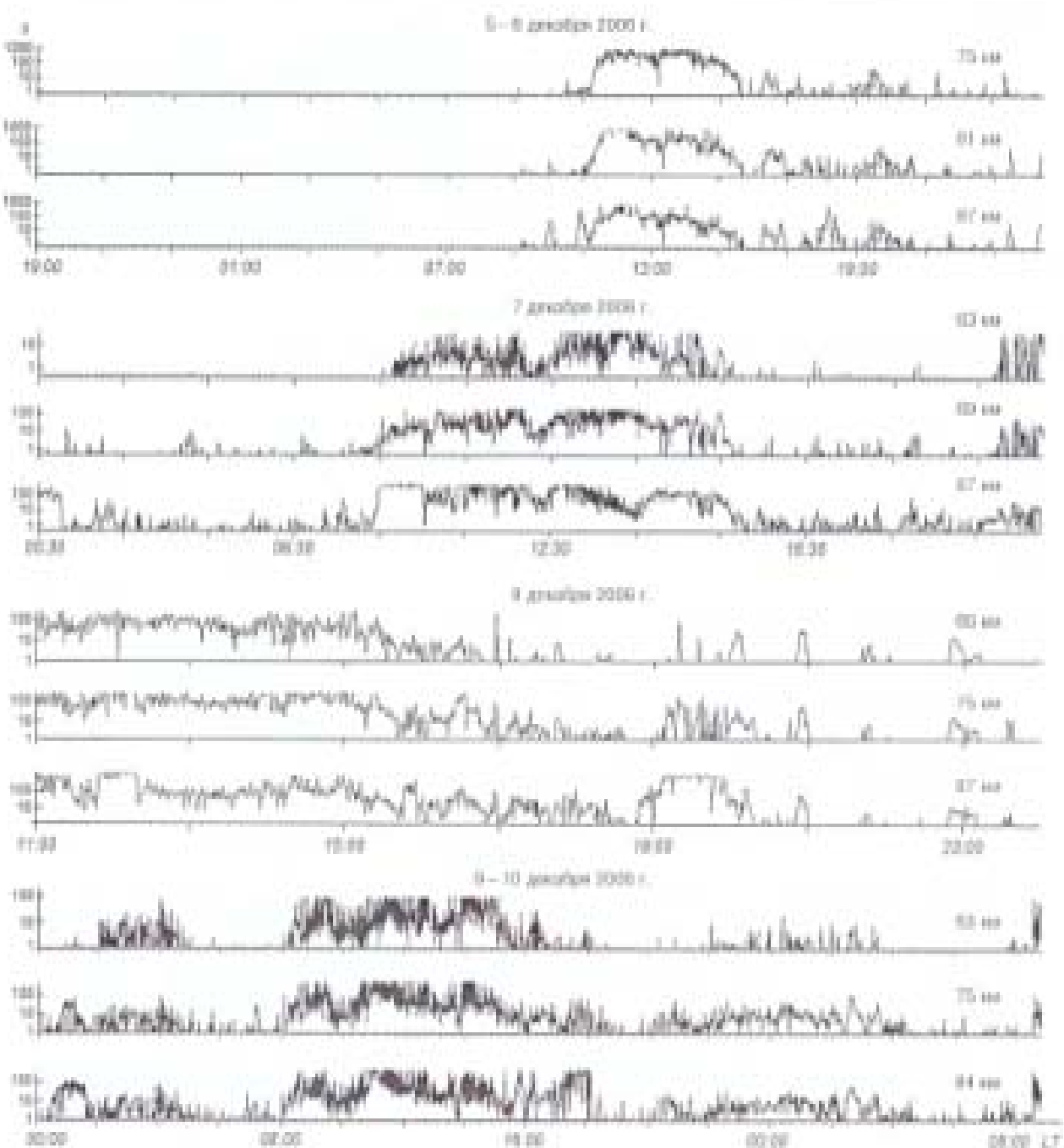


Рис. 3. Время-пространство вариации концентрации $n(z, t) = (n^2_{pe})^{1/2} (D/D_{pe})^{1/2}$ в D-области/шестиградус в экспериментах 5–10 декабря 2006 г.

(примерно до 18 ч местного времени) в области высот 63–84 км были повышенными по сравнению с невозмущенными. (В темное время в первый половине суток имели место как значительные повышенные концентрации электронов, так и синхронизированные колебания во всей D-области. Важно, что примерно такие же вариации $N(z, t)$ имели место в предыдущие часы в темное время в предыдущие сутки). Как отмечено

выше, изменение в D-области, по-видимому, частично контролировалось потоками высоколатитных притоков. Отметим также, что в темное время во второй половине суток значение концентрации электронов были на уровне типичных для этого времени года невозмущенных фоновых значений.

В эксперименте, проведенном 8 декабря, примерно между 00:30 и 10:00 LT регистрировался

стыйный уровень, помех, значение относительной составляющей $1-2$, и подавление значения концентрации электронов не удалось получить. После 10:30 LT и в течение всего светлого времени суток $z = 10-300$ в высотном диапазоне 63–90 км (рис. 3) как и в предыдущие сутки. В период прохождения ВСТ и в течение десятков минут выше него значения $n(z, t)$ сравнительно плавно увеличивались до $z = 0.5-2$. Характерно также то, что примерно через 20–120 мин (для высотных уровней 87–69 км) после прохождения ВСТ в течение 60–100 мин регистрировались интенсивные ЧО-сигналы, и значения z вновь увеличивались до $z = 10-300$. Отметим, что такое проявление z бывает иногда характерным для среднеширотной D-области ионосфера [12, 18, 34]. Как видно из рис. 2, концентрации электронов в этот период увеличивались на высотах 81–87 км на 50–100 %. Кроме того, в ночное время спонтанически $z = 10-80$ в течение 15–30 мин. Пример вариаций концентрации электронов в этот день приведен на рис. 2. Видно, что в этот день отчетливо прослеживалась зависимость $N(z, t)$. В целом в темное время во второй половине суток значения концентрации электронов были на уровне типичных для этого времени года невозмущенных фоновых значений. Кратковременное увеличение значений $N(z, t)$ примерно в 22:35–23:00 LT (в этот период $z = 10-80$), по-видимому, связано с кратковременным высвобождением заряженных частиц (как отмечалось выше, потоки протонов были еще очень высокими).

Рассмотрим далее кратко особенности вариаций $n(z, t)$ и $N(z, t)$ в эксперименте 9–10 декабря. Пример вариаций концентрации электронов в этот день приведен на рис. 2. В течение всего светлого времени суток 9 декабря $z = 10-500$ на высотах 63–87 км. В темное время суток как утром (9 и 10 декабря), так и вечером отношение z составляет 1–50 в течение нескольких часов (рис. 3). В эти периоды имело место квазипериодические вариации $N(z, t)$ с амплитудой более 100 %, периодом $T \sim 40-50$ мин и длительностью 1–3 периода. Характерно, что в утреннее время имело место $z < 1$ (т. е. случай, когда ЧО-сигналы почти отсутствовали) примерно за 60–10 мин до момента прохождения УСТ. Через 120–40 мин (63–87 км) после прохождения УСТ $z \gg 1$.

В период прохождения ВСТ и в течение десятков минут после него значение $n(z, t)$, как и в предыдущие сутки, сравнительно плавно уменьшалось до $z = 0.5-2$. Важно так же то, что в темное время суток через десятки-сотни минут (для высот 87–63 км) после прохождения ВСТ в течение примерно 3–8 ч (принесено до 04:30 LT 10 декабря) регистрировались интенсивные ЧО-сигналы (значения z увеличивались до $z = 10-50$). Отметим, что такое проявление $n(z, t)$ не характерно для измерений на нашей аппаратуре (да и вообще для наблюдений в среднеширотной D-области ионосферы), поскольку, как правило, в военные часы в невозмущенных условиях концентрация электронов падала меньше, чем в светлое время суток. Вследствие этого уровень ЧО-сигналов мал по сравнению с уровнем радиошума, которые в темное время суток, как известно, заметно увеличиваются [12, 18, 34]. Одной из наиболее вероятных причин такого проявления ЧО-сигналов в этот день, по-видимому, были вынужденные вынужденные частоты после рассмотренной выше МБ, которые могли быть инициированы прохождением ВСТ (т. е. является результатом проявления приторного взаимодействия системы ионосфера — магнитосфера в средних широтах). Ранее отмечалось, что потоки протонов и электронов в этот день были еще высокими. В этот период, как видно из рис. 2, концентрация электронов увеличивалась на высотах 66–84 км более чем на 50–150 % по сравнению с невозмущенными фоновыми значениями. Сходные результаты получены нами и в других экспериментах. В работах [12, 18, 34] мы высказали предположение, что столь большое увеличение N вызвано высвобождением частиц из магнитосферы. Высыпание может возникнуть в результате перераспределения захваченных частиц по анти-углам, к чему приводят либо покрытием конфигурации силовых линий полюс (геомагнитных локумов), либо уменьшение «поперечной» энергии заряженных частиц. Кроме того, в процессе становления и развития возмущений тензора проводимости ионосферной плазмы под воздействием E_{\parallel} обладает и вихревым компонентом E_{\times} . Последний механизм рассмотрен в работах [6, 7, 9, 10]. При прохождении терминатора возмущения существенные изменения тензора проводимости ионосферной плазмы и вариации составляющих

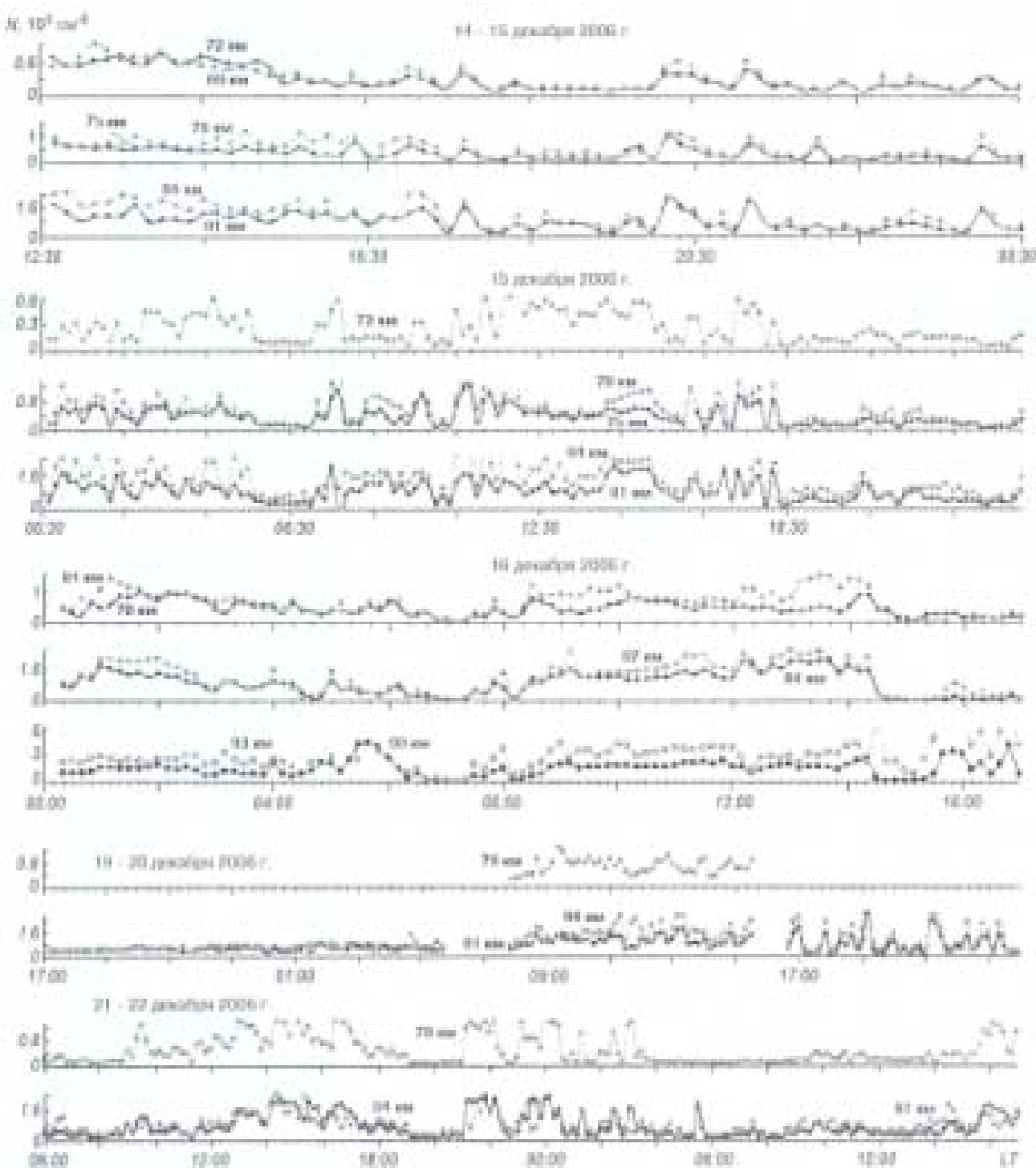


Рис. 4. То же, что на рис. 3 для 14—15 и 19—22 декабря 2006 г.

электрического поля E_x и E_y , а значит и E_z . Основные виды механизма стимуляции высвобождений электронов могут быть следующие. ВСТ вызывает уменьшение концентрации электронов на высотах динамо-области. Это приводит к генерации электрического потенциального поля

поларизации и магнитного поля. Проникая в магнитосферу, эти поля способны уменьшить «антидрейф» энергии электронов и тем самым перевести их в конус потерь. Высвобождение электронов приводит к иницииции ионизирующих частиц на высотах 80—95 км. Для обеспечения

наблюдаемого увеличения N согласно расчетам [15, 30, 34] требуются потоки электронов с плотностью $p = 10^6 \dots 10^7 \text{ м}^{-2}\text{s}^{-1}$. Такие значения p не представляются возможными. Отметим, что как и в предыдущих экспериментах, в этот день отчетливо прослеживалась зависимость N от z .

В эксперименте 14 декабря в скользящем времени интенсивные ЧО-сигналы регистрировались в интервале высот 69–87 км ($z = 1\dots1000$). Характерно, что ЧО-сигналы исчезали (или были на уровне уровня шума) за десятки минут до или сразу же после времени прохождения УСТ (рис. 5). В темное время суток $t = 0.1\dots1$, эпизодически $t = 1\dots10$. Как и в предыдущих экспериментах, в дневное время отчетливо прослеживалась зависимость N от z (примерно-изометрическая изменение концентрации электронов приведен на рис. 4). В ночные часы эпизодически регистрировались вследки увеличения $N(z, t)$ длительностью около 10–30 мин с периодом $T = 60$ мин. В эти часы проходила фаза развития МБ. Как отмечалось выше, все геофизические параметры, характеризующие состояние космической погоды, испытывали существенные изменения (см. рис. 1). Вероятной причиной таких вариаций концентрации электронов могли быть выбросания высоконекстрических протонов или электронов. Не исключено, что эти вариации могли быть обусловлены акусто-гравитационными волнами (АГВ), одной из причин развития которых могут служить существенные вариации геомагнитного поля. На это указывает величина квазипериода, характерная для возмущений, называемых АГВ [20].

В 23:00 LT на космопрроме Найденберг (Флорида, расстояние от места наблюдения 9330 км) был произведен пуск космического аппарата «Дельта-2» среднего типа [17]. Полная масса КА — 230 т, начальная тяга — 1.6 МН, время работы НО, 2(1), 3(2) и 4(3) ступеней — 64(0), 236(1), 444(2), 88(3) с, мощность двигателей — 1–10 ГВт, энергоизделие — не менее 1 ТДж. После старта КА через $\Delta t = 10$ (на высотах 84–90 км) и 50 мин (на высотах 69–87 км) наблюдались кратковременные вследки-увеличения концентрации электронов на 50–150 %, длительностью около 20–25 мин. Согласно [17] экспериментально обнаруженные возмущения концентрация электронов в срединширотной D-области ионосферы примерно через 10–15

минут после старта КА, исходя из времени задержки отклика, могут быть связаны с генерацией МГД-возмущений в ионосферной плазме. При определенных условиях, действующих на радиационные пояса Земли, они могут вызвать пульсирующие выбросания электронов высоких энергий. Последние, в свою очередь, могут вызывать наблюдаемые изменения концентрации электронов на больших удалениях от места старта КА. Подобный механизм ранее был предложен для объяснения результатов, полученных во время новых удаленных измастриссий и сильных гроз [11, 32, 33]. Возмущения концентрации электронов через 45–50 мин после старта КА, по-видимому, связаны с источником корректирующих двигателей ракет. Можно предположить, что такие дополнительные возмущения связаны с распространением волн (в частности АГВ) в нижней ионосфере. Более вероятно, что эти возмущения концентрации электронов вызваны пульсирующими потоками частиц из магнитосферы. Эти притоки высокий могут быть стимулированы источником корректирующих двигателей ракет [17]. Оценки плотности потоков электронов для рассматриваемого эксперимента для высоты 84 км дают $p = 10^6 \text{ м}^{-2}\text{s}^{-1}$, что не противоречит результатам работы [17].

15 декабря в темное время суток утром примерно до 05:20 LT (в максимальной фазе МБ) в интервале высот 72–87 км регистрировались интенсивные ЧО-сигналы ($t = 1\dots200$, рис. 5). Концентрация электронов в этот период времени в два–четыре раза превышала типичные фосфоресциентные значения. Характерно, что как и в эксперименте 9 декабря, в утреннее время в интервале высот 72–81 км исходя место $t < 1$ (т.е. случай, когда ЧО-сигналы почти отсутствовали) примерно за 40–20 мин до момента прохождения УСТ. На высотах 84–87 км $t > 1$ примерно за 20 мин до прохождения УСТ и впоследствии $t \gg 1$ после 08:10 LT в течение всего скользкого времени суток.

В скользящем времени примерно до 12 ч, как и в эксперименте 6 декабря, наблюдались квазипериодические вариации $N(z, t)$ с примерным периодом $T = 60$ мин и амплитудой более 100 %. Вероятной причиной таких вариаций могут быть выбросания заряженных частиц, однако остается неясным механизм стимуляции выбросов.

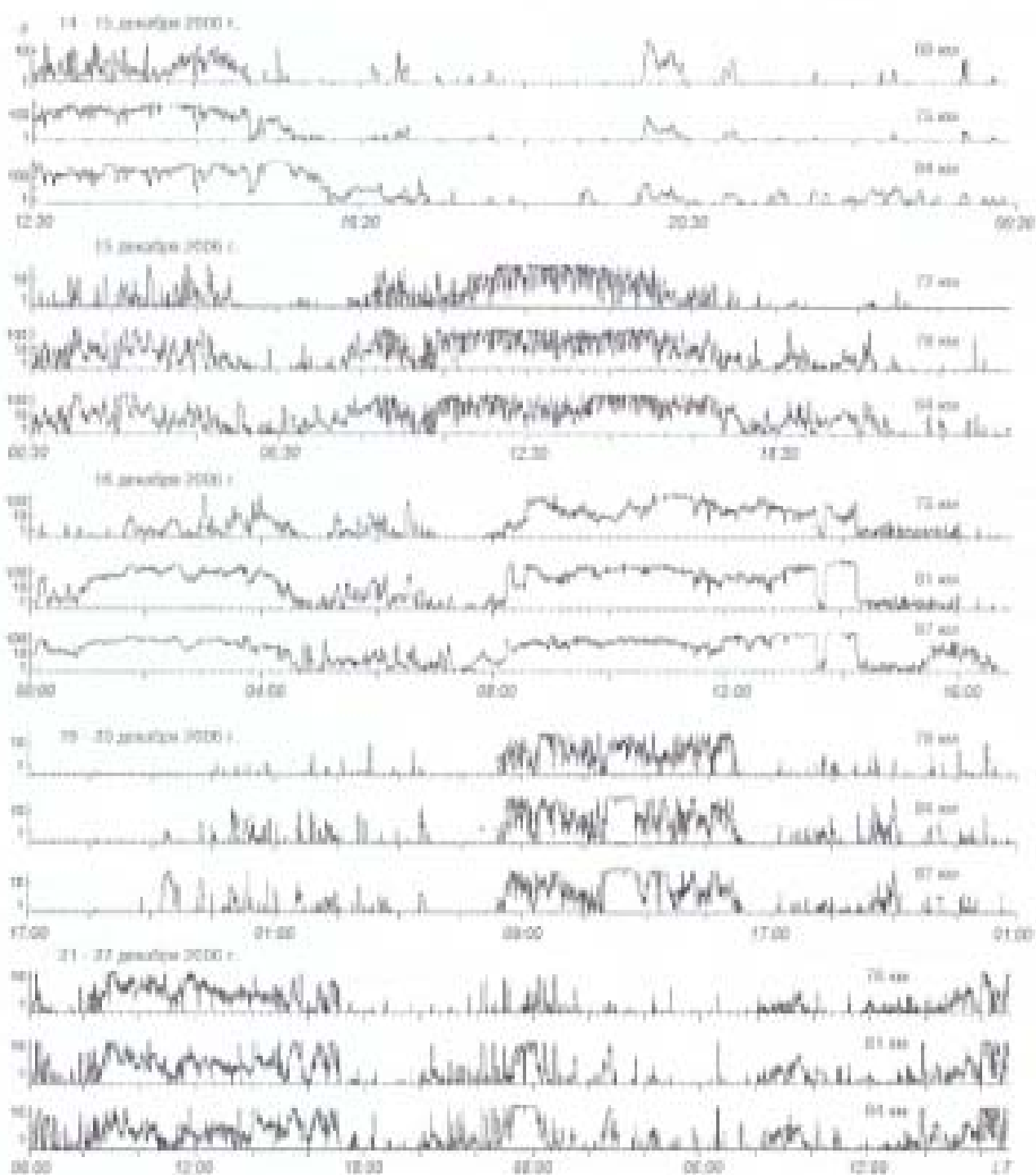


Рис. 3. То же, что на рис. 2 для 14–16 и 19–22 декабря 2006 г.

В точности примерно 4.5 ч после прохождения ВСТ в интервале высот 75–87 км $\nu = 1–50$, и концентрация электронов была повышенной по сравнению с типичными псевдомущеними условиями для этого времени года (вариации $N(d, t)$ носили, как видно из рис. 4, хаотизированский характер с примерным периодом $T = 40–45$ мин), что не является типичным для наблю-

дений в средних широтах [12, 34] обычно, если уже отмечалось ранее. ЧО-сигналы начали наблюдаться из-за малых значений концентрации электронов в этот период. Вероятно, что такое совпадение $\nu(d, t)$ и $N(d, t)$ в этот день было обусловлено высвобождением заряженных частиц из магнитосфера после МБ. Высвобождение электронов из магнитосферы могло быть

стимулированы прохождением солнечного терминатора. Потоки электронов, как видно из рис. 1, сильно всплески и флюктуировали, потоки же протонов оставались еще достаточно высокими. Важно, что квазипериодические вариации $N(z, t)$, как видно из рис. 4, начались примерно за 60–70 мин до момента прохождения ВСТ.

Отметим, что в рассмотренных экспериментах характерные вариации $n(z, t)$ и $N(z, t)$ в период прохождения ВСТ начинались за десятки минут до момента ВСТ и продолжались десятки-сотни минут после. Важно, что сходные вариации $n(z, t)$ и $N(z, t)$ наблюдались ранее как в невозмущенных (исчезающей величине), так и возмущенных условиях [13, 15, 18, 34].

Как видно из рис. 5, до конца суток 15 декабря $n(z, t) < 1$. В эксперименте 16 декабря в ночное и утренние часы $n(z, t) \gg 1$ почти до времени прохождения УСТ. Концентрация электронов в этот период была существенно повышенной по сравнению с типичными для этого времени невозмущенными значениями. Примерно за 20 мин до времени прохождения УСТ и до 07:20 LT концентрация электронов была на уровне фоновых невозмущенных значений. После этого началось типичное линейное увеличение $N(z, t)$ с отчетливо выраженной зависимостью от зенитного угла Солнца $N(z, \chi)$. Отметим также, что характерные уменьшения $n(z, t)$ и $N(z, t)$ в этот день началось за десятки-сотни минут до времени прохождения ВСТ, что является типичным для этого времени года в невозмущенных условиях [12, 34].

Эксперименты 19–22 декабря проходили в типичных невозмущенных условиях. Как видно из рис. 1, потоки протонов в этот период почти отсутствовали, потоки электронов оставались еще высокими. В этих экспериментах в светлое время суток отношение x было равным 1–50, вариации концентрации электронов соответствовали типичным для этого времени года невозмущенным условиям. Отчетливо прослеживалась зависимость от зенитного угла Солнца $N(z, \chi)$ (см. рис. 4). В темное время суток $n(z, t) < 1$, эпизодически длительностью 10–20 мин $\chi = 1\dots 15$ (в эти периоды регистрировались испlosion-увеличения концентрации электронов на 50–100 %). 21–22 декабря в интервале времени примерно 22:00–01:10 LT $\chi = 1\dots 50$ и

значения концентрации электронов превышали типичные фоновые значения примерно в 1.5–3 раза. Такие вариации $N(z, t)$, во-вторых, были обусловлены эпизодическими высвобождениями электронов после Мб, потоки которых, как отмечено выше, оставались высокими. Ранее отмечалось, что такие явления достаточно хорошо известны [1, 13, 16, 23–25, 29, 41–44].

По мнению [30] на основе экспериментальных данных о вариациях концентрации электронов оценены энергетические характеристики потоков электронов. Результаты расчетов приведены в табл. 4. Результаты расчетов показывают, что наблюденные вариации N в нижней ионосфере могут быть вызваны потоками электронов и протонов с $p = 10^7\dots 10^8 \text{ н}^{-1} \text{ с}^{-1}$. Такие значения потоков электронов сходны по величине с их значениями в периоды возмущений другой природы и не превышают больших и условных среднеширотной ионосферы. В высоких широтах, как известно [26], значения p несколько порядков больше.

Таким образом, основные особенности высотно-временных вариаций концентрации электронов в среднеширотной D-области ионосферы в рассматриваемый период во время магнитной бури сводятся к следующим:

1. Почти во всех экспериментах в невозмущенных условиях в светлое время суток сохранялась отчетливая зависимость изменений концентрации электронов от зенитного угла Солнца $N(z, \chi)$.

2. В дни геомагнитных возмущений также отчетливо прослеживалась зависимость $N(z, \chi)$. Значения $N(z)$ при этом превышали соответствующие значения концентрации электронов в невозмущенные дни.

3. В рассмотренных экспериментах характерные существенные вариации $n(z, t)$ и $N(z, t)$ в период прохождения ВСТ начинались за десятки минут до момента ВСТ и продолжались в течение десятков-сотен минут после; первые таких вариаций составляли, как правило, $T = 30\dots 40$ мин; величина возмущений концентрации — сотни процентов. В период Мб такие вариации были более выраженными, чем в невозмущенные дни.

4. В темное время суток в период Мб и в течение нескольких дней после нее эпизодически наблюдалось увеличение концентрации

Таблица 4. Параметры потока электронов и протонов

Зап. номер даты	ϕ рад	$\delta\tau$	R $\text{с}^{-1} \text{ст}^{-1}$	Примечание
6	87	18:10—18:20	2.5	ионизр.
7	78	02:30—04:00	0.9	протоны
9	81	03:00—03:40	0.2	ионизр.
11	84	19:30—19:50	1.7	ионизр.
10	81	03:40—04:20	1.5	протоны
14	72	20:00—20:30	0.9	протоны
15	78	17:10—17:50	4.5	ионизр.
21	84	21:00—22:20	4.1	ионизр.

электронов на 50—150 % и более длительностью в десятки—сотни минут.

5. В возмущенные дни после прохождения УСТ характерное увеличение значений концентрации электронов начиналось примерно на 10—50 мин раньше, чем в невозмущенные дни.

6. Наличие квазипериодических вариаций концентрации $N(z, t)$ с примерным периодом $T = -60$ мин и амплитудой более 100 % в системе кратких суток.

Характерной для среднеширотной нижней ионосферы особенностью рассматриваемых экспериментов оказалось то, что как во время МБ, так и в течение нескольких дней после них эпизодически регистрировались аномально высокие значения концентрации электронов в течение десятков минут. Такое явление не наблюдалось дома в невозмущенных условиях.

Наблюдаемое в период магнитной бури увеличение N , как отмечалось выше, может быть вызвано ионизацией ионосферной плазмы в D-области средних широт потоками высвобождающихся из магнитосфера энергичных заряженных частиц. В пользу гипотезы о высвобождении заряженных частиц в среднеширотную ионосферу говорит и тот факт, что ранее [35, 37] мы неоднократно визуально наблюдали (в основном в ночные часы) во время магнитных бурь (например, в марте и апреле 2001 г., в октябре 2003 г., в апреле, июле и ноябре 2004 г., в январе и августе 2005 г.) характерное свечение атмосферы типа «подземного сияния» (имеются фотографии таких явлений длительностью 20—60 мин).

Кроме того (см. [1, 2, 13, 16, 19, 23—25, 29—31, 35—37, 41—44]), в настоящее время

известно, что во время магнитных бурь и в течение примерно 5—14 дней после них высвобождающиеся из радиационных поясов электронами с энергией $E > 40$ кэВ являются источником дополнительной ионизации среднеширотной D-области ионосферы до широт 45—60°. В этот период существенную роль в качестве источника ионизации в средних широтах играют также высокозергетические протоны. Роль коронауларной ионизации среднеширотной D-области ионизации ионосферы подтверждена экспериментально: электроны и протоны могут играть заметную роль в ионизации нижней ионосферы на высотах 50—100 км ночно и в периоды возмущений различной природы естественного (солнечные вспышки, магнитные бури, грозы, солнечный термокатор, сильные землетрясения и т. д.) и искусственного характера (мощные взрывы, старты ракет, работа мощных нагревших стендов в радиочастотном диапазоне, излучение высокочастотных линий электронергии и т. д.).

Выше было отмечено, что как в утренние, так и в вечерние часы прохождения УСТ и ВСТ сопровождались квазипериодическими вариациями $N(z, t)$ почти во всех экспериментах. Плотность возмущений концентрации — сотни процентов (в возмущенных условиях величина возмущений, как правило, в несколько раз больше, чем в невозмущенных). Характерно, что значения относительной скорости ионизации в возмущенных и невозмущенных условиях ϕ/q , при этом достаточно большие, они составляют для рассмотренных экспериментов $\phi/q = 5..46$. Причина таких изменений концентрации электронов пока неясна. Обусловлено это малой изученностью и большой сложностью процессов в этой части ионосферной плазмы. Естественно, что они связаны с изменением термодинамического режима. Но при этом совершенно неизучена роль основных процессов и высотный высокозергетич. частич.

ЗАКЛЮЧЕНИЕ

Во время рассмотренных периодов наблюдений в невозмущенных условиях и во время магнитных бурь в выкотно-кремниевых парашютах концентрации электронов установлены следующие основные особенности:

1. В немодулируемые дни высотно-временные вариации концентрации электронов соответствовали типичным нейтромодулируемым условиям с отчетливо выраженной зависимостью $N(z, t)$.

2. В дни во время магнитных бурь отчетливо прослеживалась зависимость $N(z, t)$. Значение $N(z)$ при этом превышали соответствующие значения концентрации электронов в немодулируемых дни.

3. Наблюдение в период магнитной бури увеличение N может быть вызвано ионизацией ионосферной плазмы в D-области средних широт излучания высвобождающихся из магнитосфера энергичных заряженных частиц.

4. Характерно, что в период МБ интенсивные ЧО-сигналы ($t = 10\ldots70$) наблюдались в области высот $z < 72$ км. В обычных нейтромодулируемых условиях ЧО-сигналы с $\delta \geq 1$ на нашей аппаратуре в этом пункте наблюдений регистрируются редко с высот менее 72 км, что обуславливается малыми значениями концентрации электронов в этой области высот. Ионизация в этот период времени, по-видимому, в значительной мере контролировалась потоками высвобождающихся протонов, которые были достаточно высокими. Оценки потоков, выполненные на основе экспериментальных данных, показали, что плотность потоков высвобождающихся частиц была достаточно высокой и составляла $p = 10^7\ldots10^8$ $\text{м}^{-2}\text{s}^{-1}$.

5. Наличие квазипериодических вариаций $N(z, t)$ с примерным периодом $T = 60$ мин в частное время суток в возмущенные дни. Возмущения N составляли 50—100 % и более.

6. В возмущенные дни после проходления утреннего солнечного терминатора характерное увеличение значений концентрации электронов начиналось примерно на 10—50 мин раньше, чем в немодулируемые дни.

7. В период прохождения вечернего солнечного терминатора в возмущенные дни за десятки минут до момента его прохождения наблюдались существенные квазипериодические изменения $N(z, t)$. ВСТ сопровождалась квазипериодическими вариациями $N(z, t)$ почти во всех экспериментах. Периоды таких вариаций, как правило, $T = 30\ldots50$ мин, длительность процесса — несколько часов, величина возмущений концентрации — сотни процентов. В период МБ величина возмущений, как правило, в несколько раз больше, чем в немодулируемых.

8. В периоде МБ и в ряде экспериментов после МБ в темное время суток, почти во всей D-области ионосферы эллиптические регистрировались ЧО-сигналы с $\delta \geq 1\ldots10$, и наблюдалось эллиптические и квазипериодические вариации $N(z, t)$ по порядку величины и течению десятков — сотен минут с $T = 40\ldots50$ мин. Вероятно, такие возмущения $N(z, t)$ вызваны потоками высвобождающихся заряженных частиц. Оценки потоков показали, что плотность потоков высвобождающихся частиц была $p = 10^7$ $\text{м}^{-2}\text{s}^{-1}$.

Автор благодарит А. Н. Гратчика за помощь в экспериментах, К. П. Гаринка за программу расчета профилей концентрации электронов.

1. Беликович В. В., Борисенко Е. А., Назаров В. Д., Гриников Л. Н. Некоторые особенности D-области ионосферы измеренных автором в период магнитной бури // Геомагнитика и астрономия. 1980. № 3. С. 547—558.
2. Беликович В. В., Борисенко Е. А., Гриников Л. Н., Иванов В. А. Результаты изучения дистанционной концентрации в D-области ионосферы по космическим измерениям // Изв. вузов. Радиофизика. — 1973. — 16, № 8.— С. 1094—1097.
3. Борисенко В. Е., Назаров А. А. Физика ионосфера. — М.: Наука, 1968.— 529 с.
4. Гарин К. П. Решение обратной задачи в ионной частицеобразовании // Вестн. Караг. гос. ун-та. Радиофизика и электроника.— 1991.— № 3/3.— С. 61—64.
5. Гарин К. П., Назаров С. В., Назаров С. А., Чернов Д. Ф. Флуктуации напряжения поля Земли во время самой большой геомагнитной бури 1999 г. // Радиофизика и радиотехника. — 2001. — 46, № 3.— С. 253—264.
6. Гарин К. П., Чернов Д. Ф. Генерации и распространение радиотелеметрических волн, связанные с вариацией яркого проявления // Тез. докл. конф. «Радиосвязь и радиотелеметрия в ионосфере». — М.: Радио и связь, 1989.— С. 70.
7. Гарин К. П., Чернов Д. Ф. Каналы излучения коинвариантами низкочастотного электрического поля, генерируемых при нагреве ионосферы ионами радиоактивности, на параметрах ионосфера-земля // Тез. докл. Междунар. конф. «Спутниковое исследование ионосферных и магнитосферных процессов» (Москва, 11—12 декабря 1995 г.). — М.: ИЗМИРАН, 1995.— С. 30—31.
8. Гарин К. П., Чернов Д. Ф. Профиль дистанционной концентрации D-области ионосферы в спокойные и возмущенные условия по данным чистополярной структуры // Геомагнитика и астрономия. — 1996.— 36, № 2.— С. 75—83.
9. Гарин К. П., Чернов Д. Ф. Эффекты в спокойной и возмущенной плазме, сопровождающие излучение ионами радиоактивности // Зарубеж. радиоэлектроника. Ученые спбрен. радиотехники.— 1998.— № 8.—

- С. 17–40.
10. Гарнел К. Н., Шварцбург А. В., Черногор Л. Ф. Влияние солнечной активности на магнитные и геофизические параметры ионосфера, излучающие ионизированные радиоизлучения // Космическая оптика. — 1968. — № 6. — С. 62–71.
 11. Гоков А. М. К вопросу о режиме среднеквазиотодной D-области ионосферы на удаленные северные широты // Геомагнит и аэромагн. — 2001. — № 4. — С. 512–516.
 12. Гоков А. М., Григорьев А. И. Влияние солнечного циклита на среднеквазиотодную D-область ионосферы и характеристики частиц отражений КВ-сигналов в радиолюкс // Геомагнит и аэромагн. — 1984. — № 2. — С. 169–172.
 13. Гоков А. М., Григорьев А. И. Характеристики некоторой излучающей в D-области ионосферы во время магнитных бур и связанных явлений // Косм. исслед. — 1996. — № 4. — С. 383–389.
 14. Гоков А. М., Тырков О. Ф. К определению электронной концентрации D-области ионосферы по излучающим измерениям частоты отраженных сигналов // Радиотехника. — 1990. — Вып. 93. — С. 108–111.
 15. Гоков А. М., Тырков О. Ф. Некоторые особенности динамики ионосферы, обусловленные изменением солнечной активности // Зарубеж. радиотехника. Ученые соврем. радиотехники. — 2002. — № 12. — С. 26–32.
 16. Гоков А. М., Тырков О. Ф. Отклики среднеквазиотодной D-области ионосферы на протонные события SPC // Космична наука і технологія. Дзвінок. — 2003. — № 9. — С. 86–90.
 17. Гоков А. М., Тырков О. Ф. Экспериментальные исследования ионизированной атмосферной отдачи среднеквазиотодной D-области ионосферы на удаленные широты и северные магнитные аномалии // Геомагнит и аэромагн. — 2006. — № 3. — С. 690–697.
 18. Гоков А. М., Тырков О. Ф. Вариации концентрации электронов в среднеквазиотодной D-области ионосферы в период магнитной бури 7–11 ноября 2004 г., обусловленные утренним солнечным извержением // Космична наука і технологія. — 2006. — № 12. — С. 69–78.
 19. Гоков А. М., Черногор Л. Ф. Вариации концентрации коннекторной в среднеквазиотодной D-области ионосферы во время магнитных бур // Космична наука і технологія. — 2005. — № 11. — С. 12–21.
 20. Григорьев Г. И. Акустико-гравитационные волны в атмосфере (Обзор) // Изв. вузов. Радиофизика. — 1949. — № 1. — С. 3–24.
 21. Григорьев А. И., Дорожек В. В., Конинец Л. Г. и др. Стандартный комплекс литературы для исследования ионизированной атмосферы методом частиц отражений // Вестн. Карл. ун-та. Радиофизика и радиотехника. — 1988. — № 5. — С. 21–24.
 22. Давидсон А. Д. Погодные аномалии. — Л.: Гидрометеоиздат, 1984. — 230 с.
 23. Каут Р., Федорова Н. Н. Международные координированные измерения геофизических эффектов дальней отдачей в верхней ионосфере. 4. Высокие энергетические частицы во время бури излучающей ионизированной среднеквазиотодной D-области ионосферы // Геомагнит и аэромагн. — 1977. — № 5. — С. 854–861.
 24. Каут Р., Федорова Н. Н. Международные координированные измерения геофизических эффектов дальней отдачей в верхней ионосфере. 5. Излучающая ионизированная среднеквазиотодная D-область ионосферы // Геомагнит и аэромагн. — 1977. — № 17. — С. 854–861.
 25. Лаптевская Е., Федорова Н. Н. Международные координированные измерения геофизических эффектов дальней отдачей в верхней ионосфере. 6. Излучающая ионизированная среднеквазиотодная D-область ионосферы // Геомагнит и аэромагн. — 1978. — № 8. — С. 1018–1025.
 26. Лаптевская Е., Малышев Ю. Н. Частотно-диапазонные фазовые зависимости. — М.: Наука, 1988. — 192 с.
 27. Митра А. Влияние солнечных вспышек на ионосферу Земли. — М.: Мир, 1977. — 370 с.
 28. Черногор Л. Ф. Физика Земли, атмосфера и геосфера в свете системной науки // Радиотехника и радиоэлектроника. — 2001. — № 4. — С. 99–106.
 29. Веберн Е. Б., Томас Л. Ionospheric changes in the middle-latitude D region associated with geomagnetic storms // J. Atmos. and Terr. Phys. — 1968. — № 30. — Р. 1397–1413.
 30. Снегирев Л. Е., Григорьев К. Р., Копылов В. Т. Flux parameters of energetic particles affecting the middle-latitude lower ionosphere // Радиотехника и радиоэлектроника. — 1998. — № 2. — С. 191–197.
 31. Басин А. В., Гавричка І. Effects of geomagnetic storm on the ionosphere and thermosphere // Int. J. Geomag. Aerom. — 2001. — № 5. — Р. 209–224.
 32. Гоков А. М., Тырков О. Ф. Experimental investigation of strong thunderstorms having effects on the middle-latitude ionospheric D-region parameters // Telecommunications and Radio Engineering. — 1999. — № 5. — № 7–8. — Р. 6–12.
 33. Гоков А. М., Тырков О. Ф. Experimental investigation of electron density variations in the middle-latitude ionospheric D-region during remote strong earthquakes // Telecommunications and Radio Engineering. — 2004. — № 5. — Р. 8–15.
 34. Гоков А. М., Тырков О. Ф. Some features of lower ionospheric dynamics caused by the morning solar terminator // J. Atmos. Electricity. — 2002. — № 1. — Р. 12–21.
 35. Гоков А. М., Тырков О. Ф. Middle-latitude ionospheric D-region response to solar events as measured by particle reflection methods // Telecommunications and Radio Engineering. — 2003. — № 3 & 4. — Р. 114–134.
 36. Гоков А. М., Тырков О. Ф. Experimental investigation of the middle-latitude ionosphere D-region reaction to geomagnetic sudden storm parameters // J. Atmos. Electricity. — 2003. — № 1. — Р. 21–29.
 37. Гоков А. М., Тырков О. Ф. The ionospheric D-region over Kharkiv during the 14–24 April 2002 magnetic storm // Telecommunications and Radio Engineering. — 2004. — № 5. — № 1. — Р. 63–74.
 38. Гончарук В. Д., Дэвидсон Дж. А., Канади У., et al. What is a geomagnetic storm? // J. Geophys. Res. — 1984. — № 99, К. A4. — Р. 8771–8792.
 39. Гончарук А. В. Nonlinear phenomena in the ionosphere. — New York: Springer, 1978. — 266 p.
 40. Гавричка І. Effects of geomagnetic storm on the lower ionosphere, middle atmosphere and troposphere // J.

- Atoms and Terr. Phys.—1996.—38.—P. 831–843.
41. Lester E. A. The post-storm ionization in the upper mesosphere. // *J. Meteorol.*—1977.—V. 35.—P. 67–73.
 42. Lester E. A., Knudt R. Precipitation of high-energy particles into the upper atmosphere at medium latitudes after magnetic storm. // *J. Atm. and Terr. Phys.*—1987.—29.—P. 411–417.
 43. Peter W. B., Cherdier M. W., Ivan U. S. Perturbations of midlatitude ionospheric VLF signals associated with lower ionospheric disturbances during major geomagnetic storms. // *J. Geophys. Res.*—2006.—111, A03301, doi: 10.1029/2005JA011346.—P. 1–14.
 44. Ponomra T. A., Zvezda A. J. Precipitating energetic electrons as an ionization source in the midlatitude nighttime D-region. // *J. Geophys. Res.*—1970.—75, N 34.—P. 7161–7166.
 45. Tyurin O. F., Garmash K. P., Golov A. M., et al. The radioophysical observatory for remote sounding of the ionosphere. // *Tekhnol. I. Phys.*—1994.—18.—P. 1260–1265.

SOME FEATURES OF THE ELECTRON DENSITY VARIATIONS IN THE IONOSPHERIC D-REGION NEAR KHARKOV DURING THE MAGNETIC STORM PERIOD IN DECEMBER 2006

A. M. Golov

We investigated some changes of the electron density in the middle latitude ionospheric D-region during a magnetic storm in December 2006 using the partial reflection method. The response of D-region is considered at the beginning and at the end of the storm. Our results are compared with ones obtained in December 2006 before and after the magnetic storm in the undisturbed conditions. We revealed a quasi-periodic increase of electron density in the D-region of more than 30–100 %, with periods $T = 30–60$ min during tens of minutes. The ionization rate is estimated. On the basis of the experimental data on electron density changes over the electron and proton precipitation periods corresponding fluxes are found.